

Berömda Experiment

- | | | |
|------|---------------------------------|-------------|
| 1933 | Upptäckten av positronen | → boken 1.2 |
| 1968 | Upptäckten av kvarkar | → boken 7.4 |
| 1973 | Upptäckten av neutral ström | → boken 8.0 |
| 1974 | Upptäckten av J/ψ | → boken 3.4 |
| 1979 | Upptäckten av gluonen | → boken 7.2 |
| 1983 | Upptäckten av Z^0 och W^\pm | → boken 8.1 |

Kosmisk stråling

p, Fe, etc. (or γ)

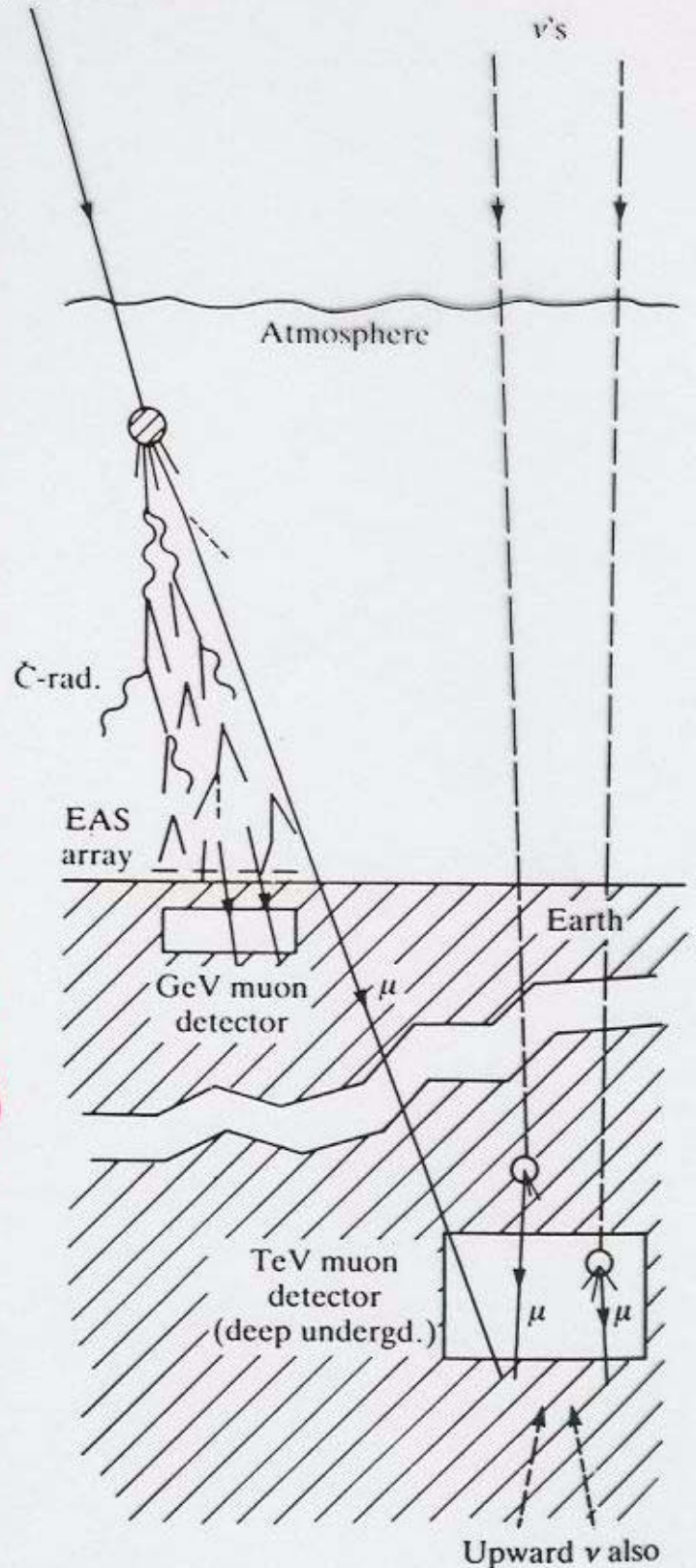
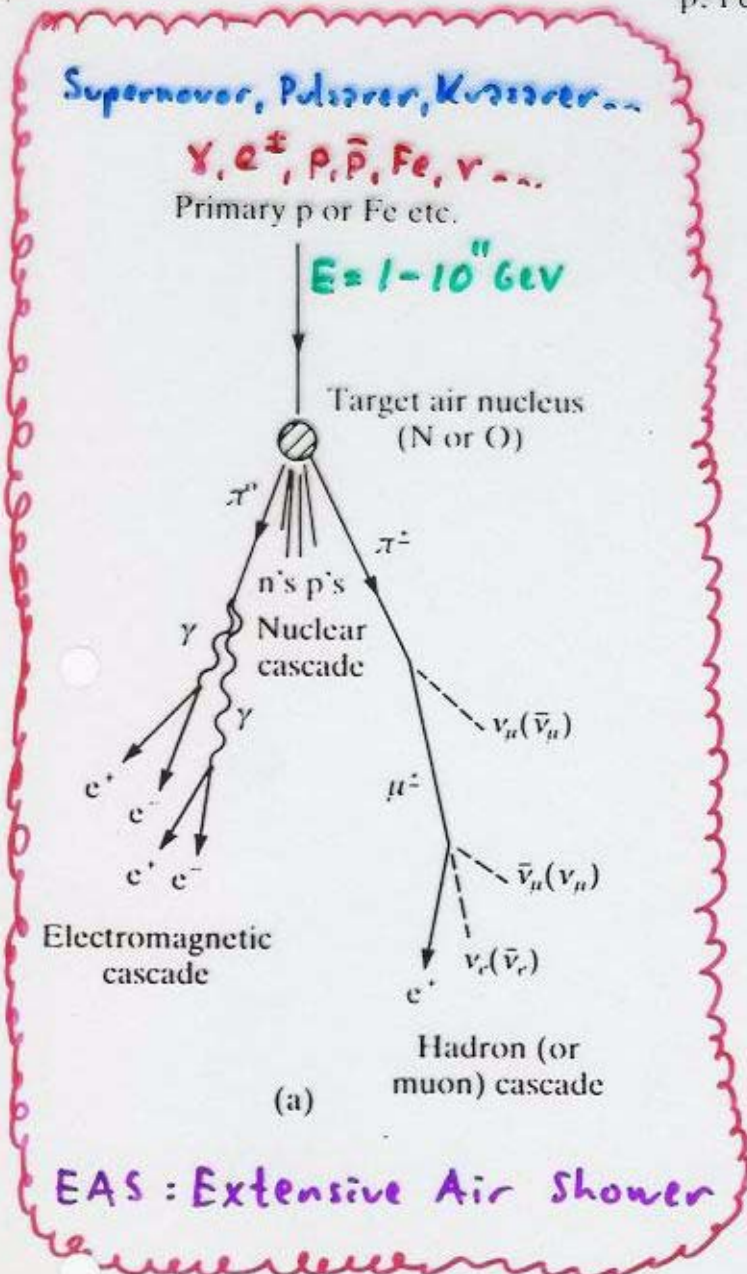
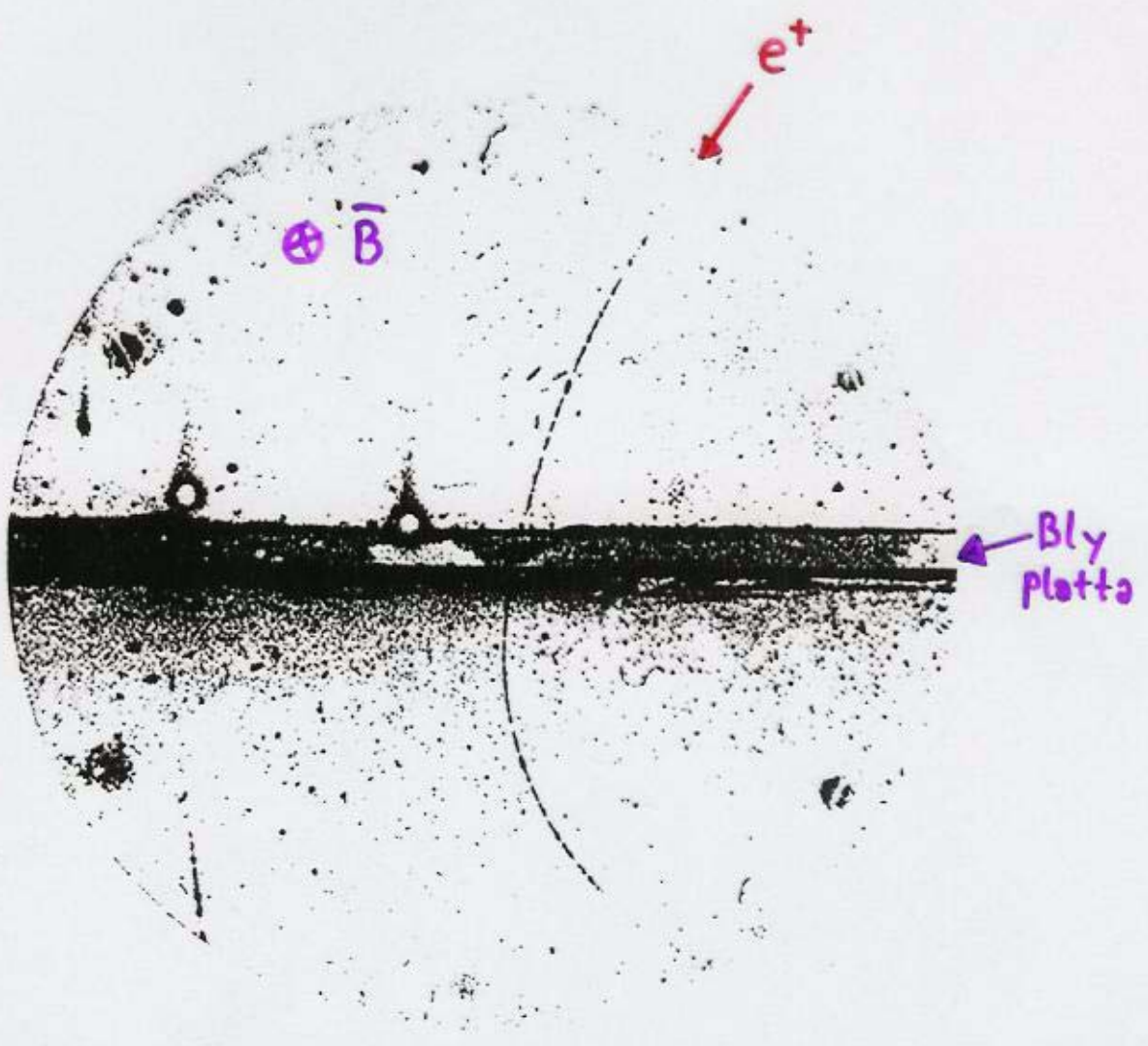


Fig. 18.3 (a) The development of an air shower caused by a primary proton or heavy nucleus hitting an air nucleus, and producing a nuclear cascade of neutrons and protons, as well as pions which subsequently decay and produce electromagnetic cascades (via $\pi^0 \rightarrow \gamma\gamma$) or so-called "hadron" cascades through $\pi^\pm \rightarrow \mu^\pm \nu$. (b) A summary of the techniques used to observe cosmic ray particles. The Čerenkov radiation that accompanies the cascade can be detected on Earth by Čerenkov telescopes even when the cosmic-ray shower does not penetrate to the ground.

Dimkammerbild av en positron



Uppträkten av "neutral current" (1973)

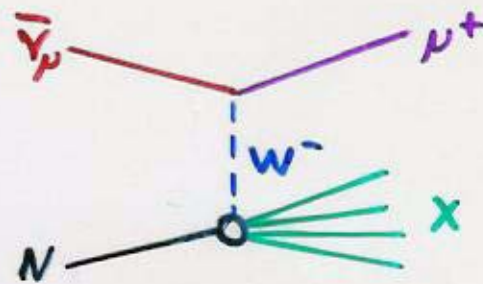
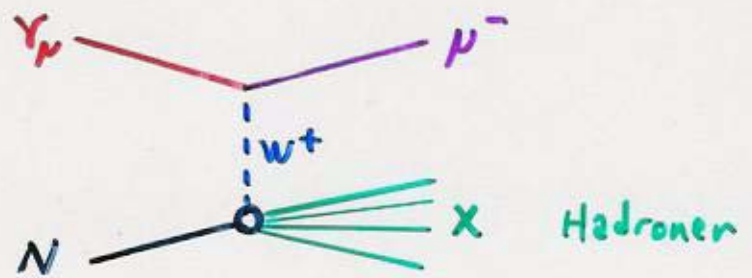
Laboratorium = CERN

Accelerator = PS

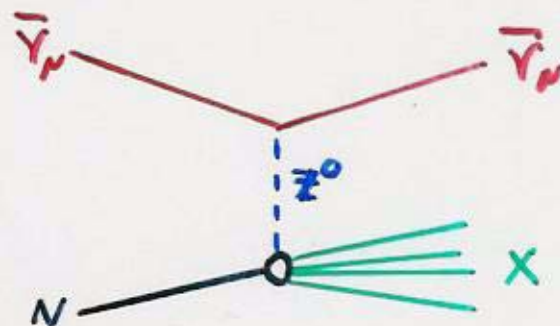
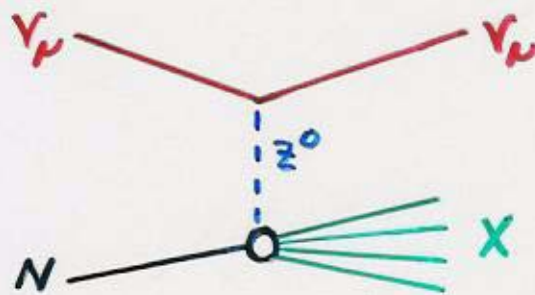
Experiment = Gargamelle (νN fixed target)

Processor =
$$\left. \begin{array}{l} \nu_{\mu} + N \rightarrow \nu_{\mu} + X \\ \bar{\nu}_{\mu} + N \rightarrow \bar{\nu}_{\mu} + X \end{array} \right\} \text{Neutral current}$$
$$\left. \begin{array}{l} \nu_{\mu} + N \rightarrow \mu^{-} + X \\ \bar{\nu}_{\mu} + N \rightarrow \mu^{+} + X \end{array} \right\} \text{Charged current}$$

Charged current:

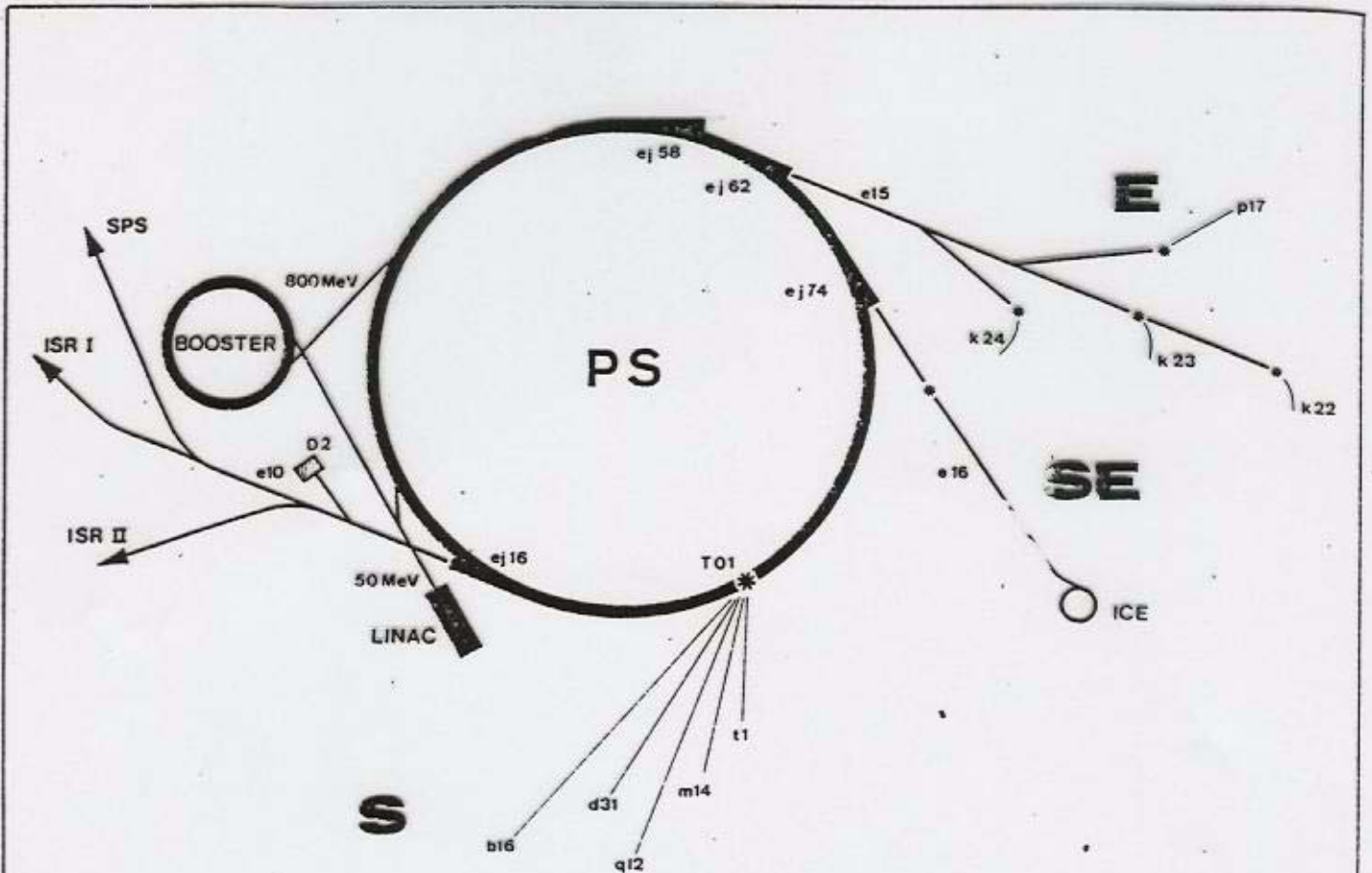


Neutral current:



OBS: En neutrino kan ej växelverka elektromagnetiskt
dvs genom foton utbyte.

PS - Accelerator



D2: external dump, buried in the earth outside the ring wall; mainly used for adjustment of the extraction systems providing beam for the SPS and ISR and for PS machine development.

SOUTH HALL (S)

Target 01: five beams are derived from this target:

- t_1 : for tests; ~ 1 GeV/c;
- m_{14} : partially separated; mainly \bar{p} up to 0.9 GeV/c;
- q_{12} : test beam ≤ 4.4 GeV/c;
- d_{31} : $\pi^+ \leq 10$ GeV/c;
- b_{16} : neutrals at 0° production angle; protons for tests.

EAST HALL (E)

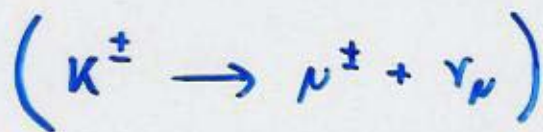
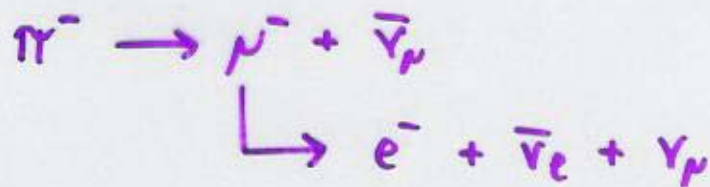
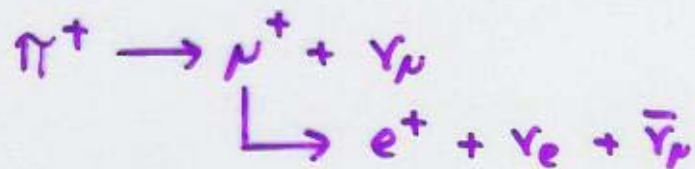
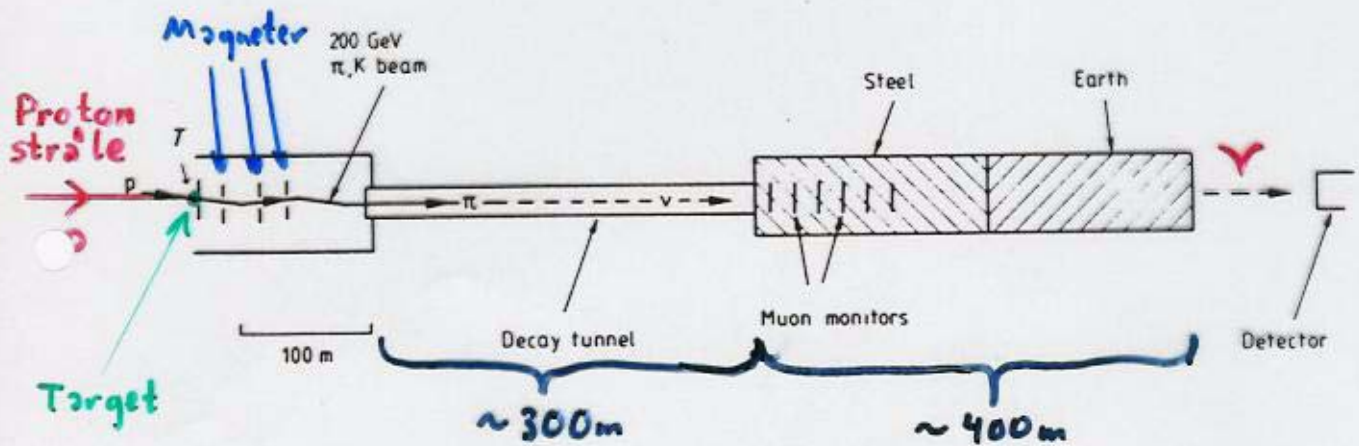
Slow extraction from straight-section 62; the primary beam, e_{15} , is divided into three branches, and from targets in these four secondary beams are derived:

- p_{17} : π beam with high momentum resolution; 6-15 GeV/c;
- k_{22} : separated $K^\pm \sim 1$ GeV/c;
- k_{23} : separated $\bar{p} \sim 1$ GeV/c;
- k_{24} : separated $K^- \leq 1.5$ GeV/c.

SOUTH-EAST AREA (SE)

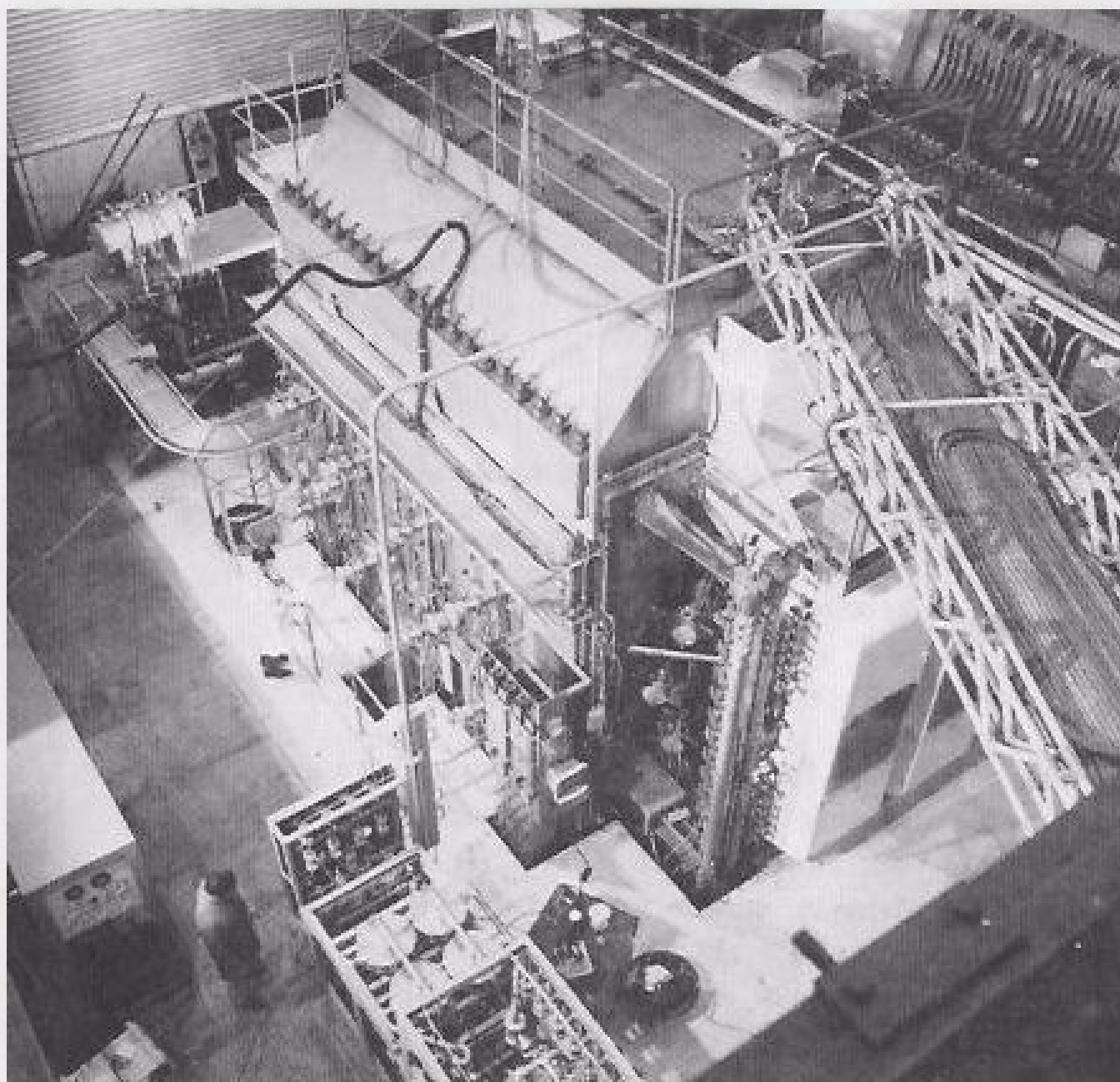
- e_{16} : (i) protons between 50 MeV and 2.1 GeV/c for ICE, or (ii) protons of up to 18 GeV/c on a target to supply anti-protons to the ICE ring.

Tillverkning av en neutrinostråle



GARGAMELLE

6.4 Bubbelkammaren GARGAMELLE vid CERN (utsidan). Kammaren är fylld med en speciell vätska. Så fort en stråle med neutriner far igenom kammaren reducerar man plötsligt trycket i kammaren. De laddade partiklarna bildar spår i kammaren bestående av blåsor, vilka fotograferas. Kammaren är omgiven av en magnet, som skapar ett starkt magnetfält i kammarens inre. Av riktning och styrka på de laddade partiklarnas avböjning i magnetfältet kan man dra slutsatser om deras energi och laddning.



Bubbelkammerbild av en "neutral ström" händelse

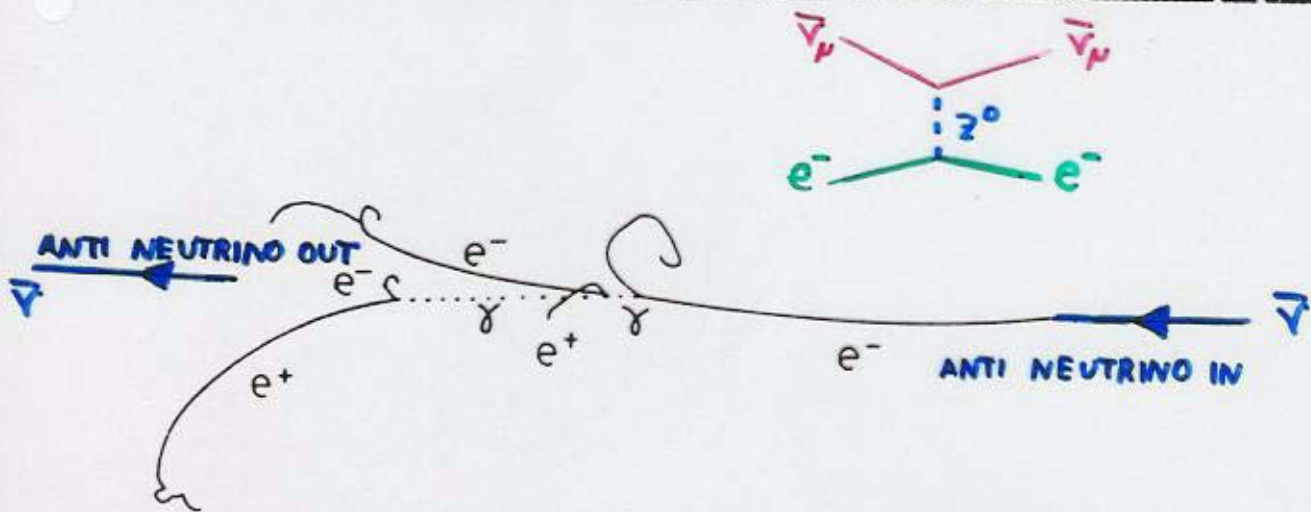
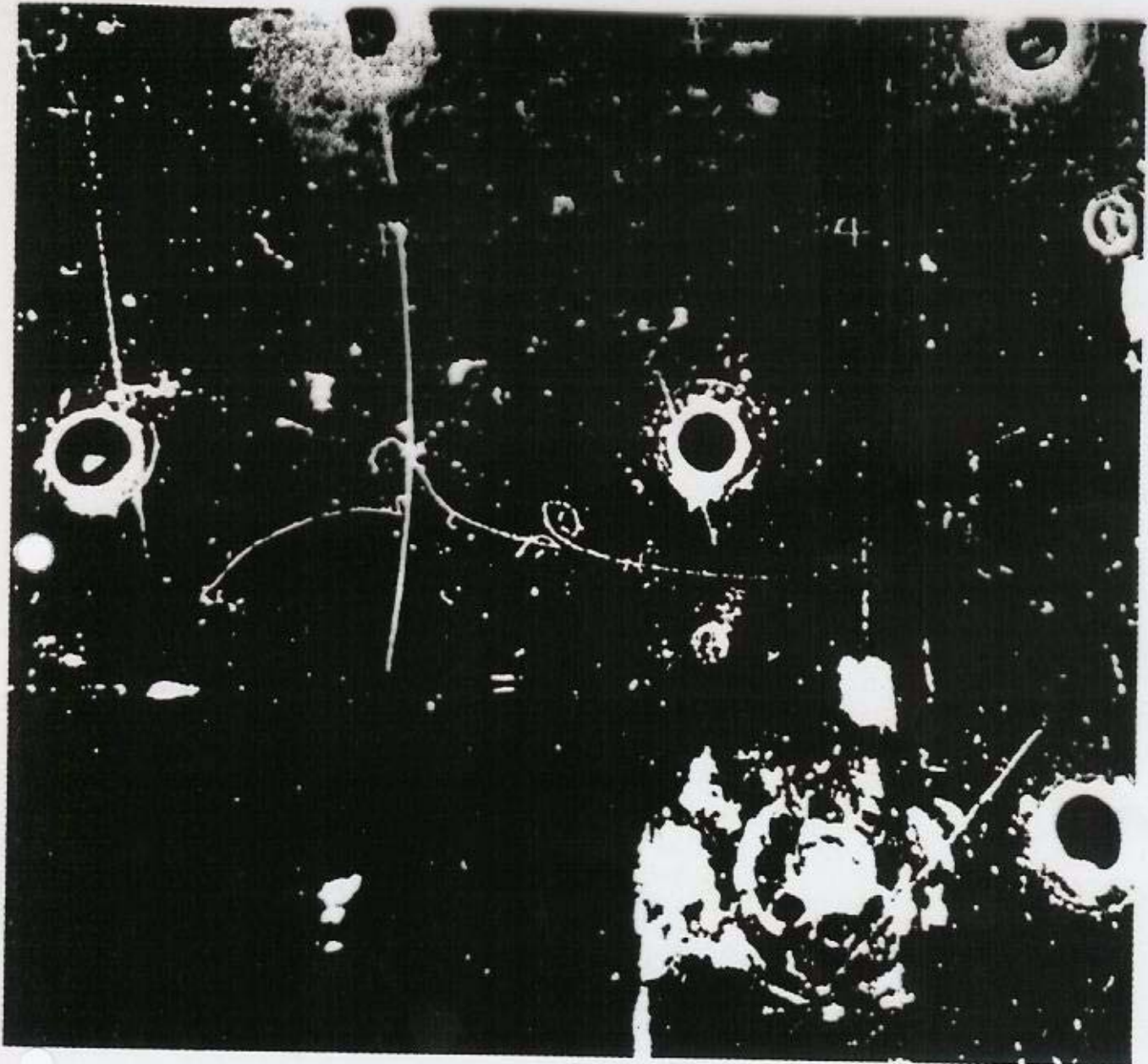
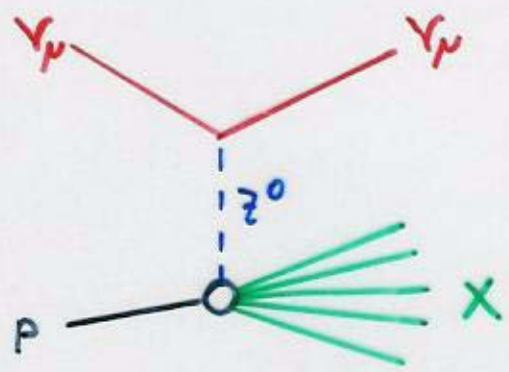
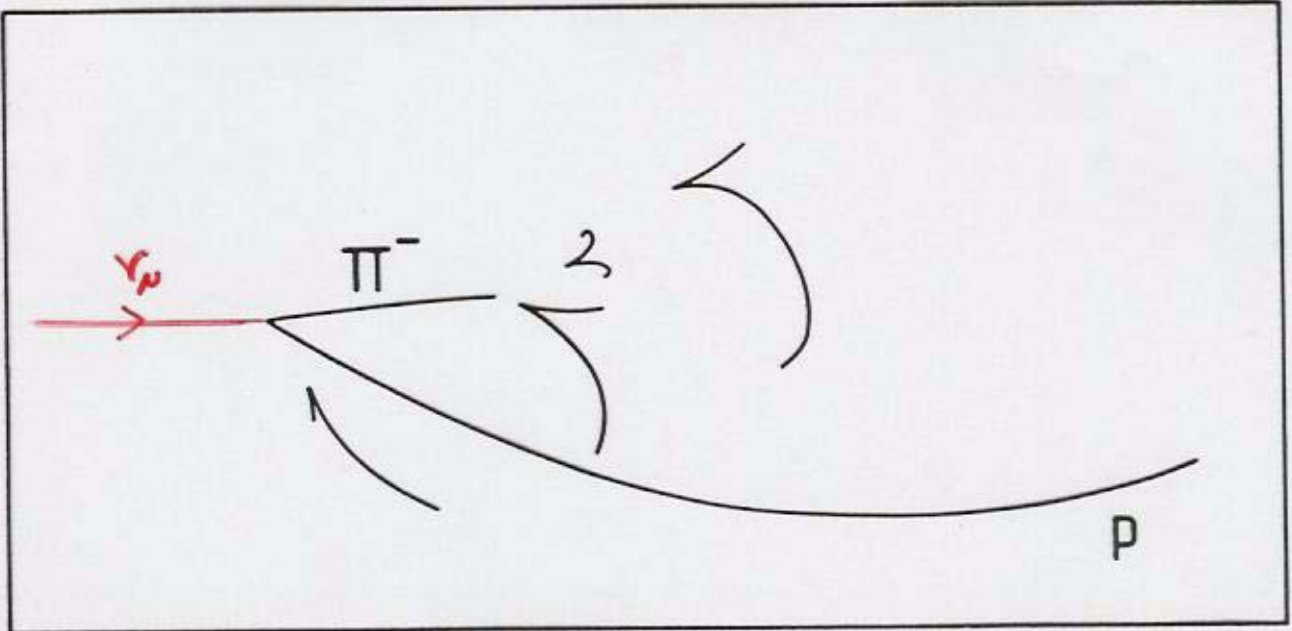
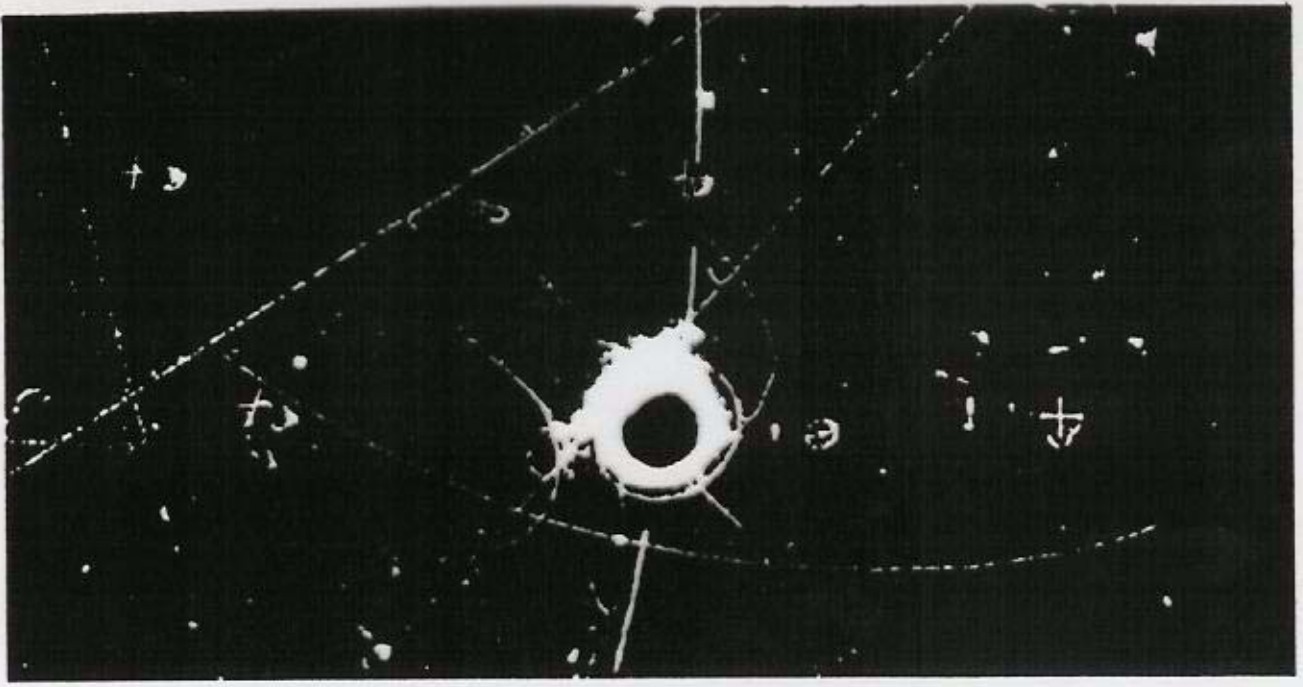


Fig. 8.4 Photograph of the first weak neutral-current event $\bar{\nu}_\mu + e^- \rightarrow \bar{\nu}_\mu + e^-$ recorded in the Gargamelle Bubble Chamber (Häsert, 1973a). (Photograph courtesy CERN.) The annotated line diagram shows the identities of particles seen and unseen (γ and $\bar{\nu}$).



Upptäckten av Z^0, W^\pm (1983)

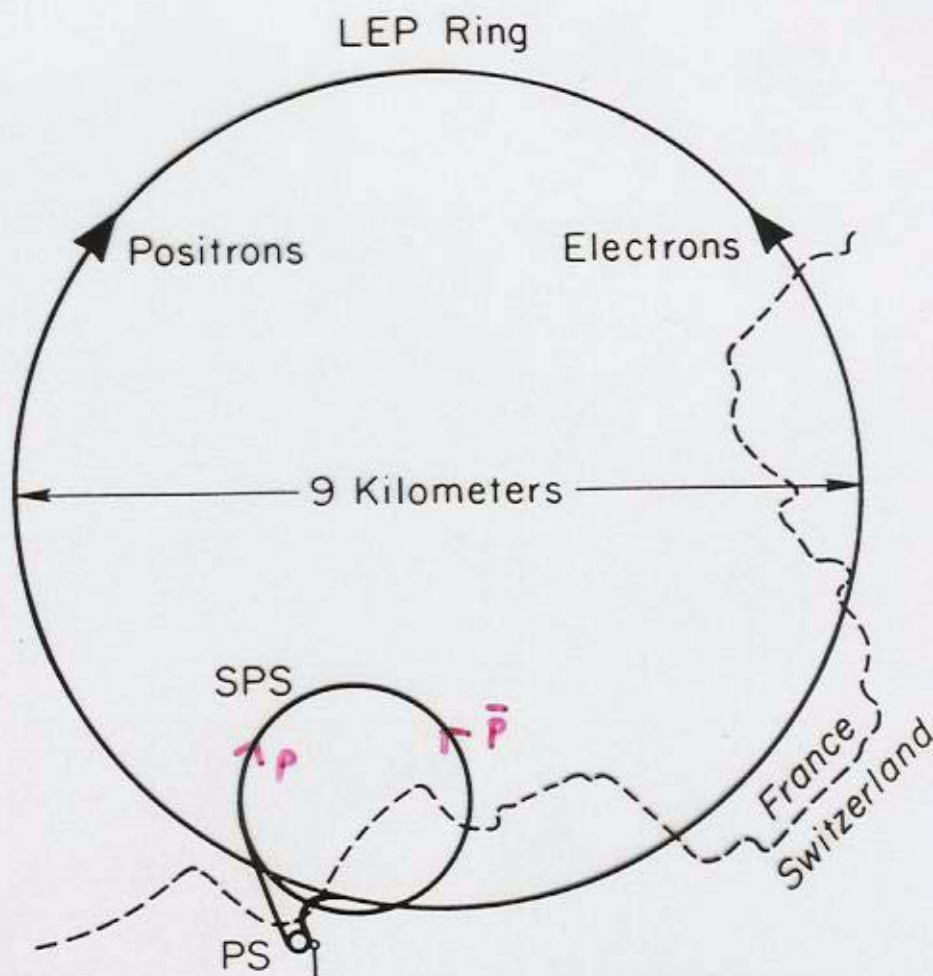
Laboratorium = CERN

Accelerator = Sp \bar{p} S ($\sqrt{s} = 540 - 900$ GeV)

Experiment = UA1 + UA2 (pp kollisions experiment)

Processer =
$$\begin{cases} \bar{p} + p \rightarrow W^+ + X^- \rightarrow L^+ + \bar{\nu}_l + X^- \\ \bar{p} + p \rightarrow W^- + X^+ \rightarrow L^- + \nu_l + X^+ \\ \bar{p} + p \rightarrow Z^0 + X^0 \rightarrow L^+ + L^- \end{cases} \quad \left(\begin{array}{l} \text{där} \\ L^+ = e^+, \mu^+ \\ L^- = e^-, \mu^- \end{array} \right)$$

Nobelpristagare = Rubbia + Van der Meer

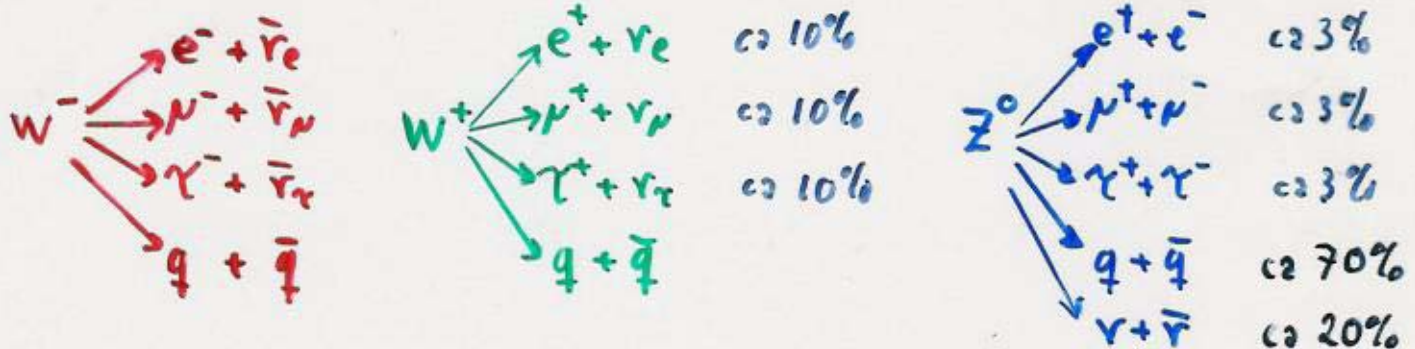


- Tvärsnitt: ca 1 Z^0 produceras per 10^8 $p\bar{p}$ kollisioner
ca 1 W^\pm produceras per 10^7 $p\bar{p}$ kollisioner

- Produktion:



- Sönderfall:

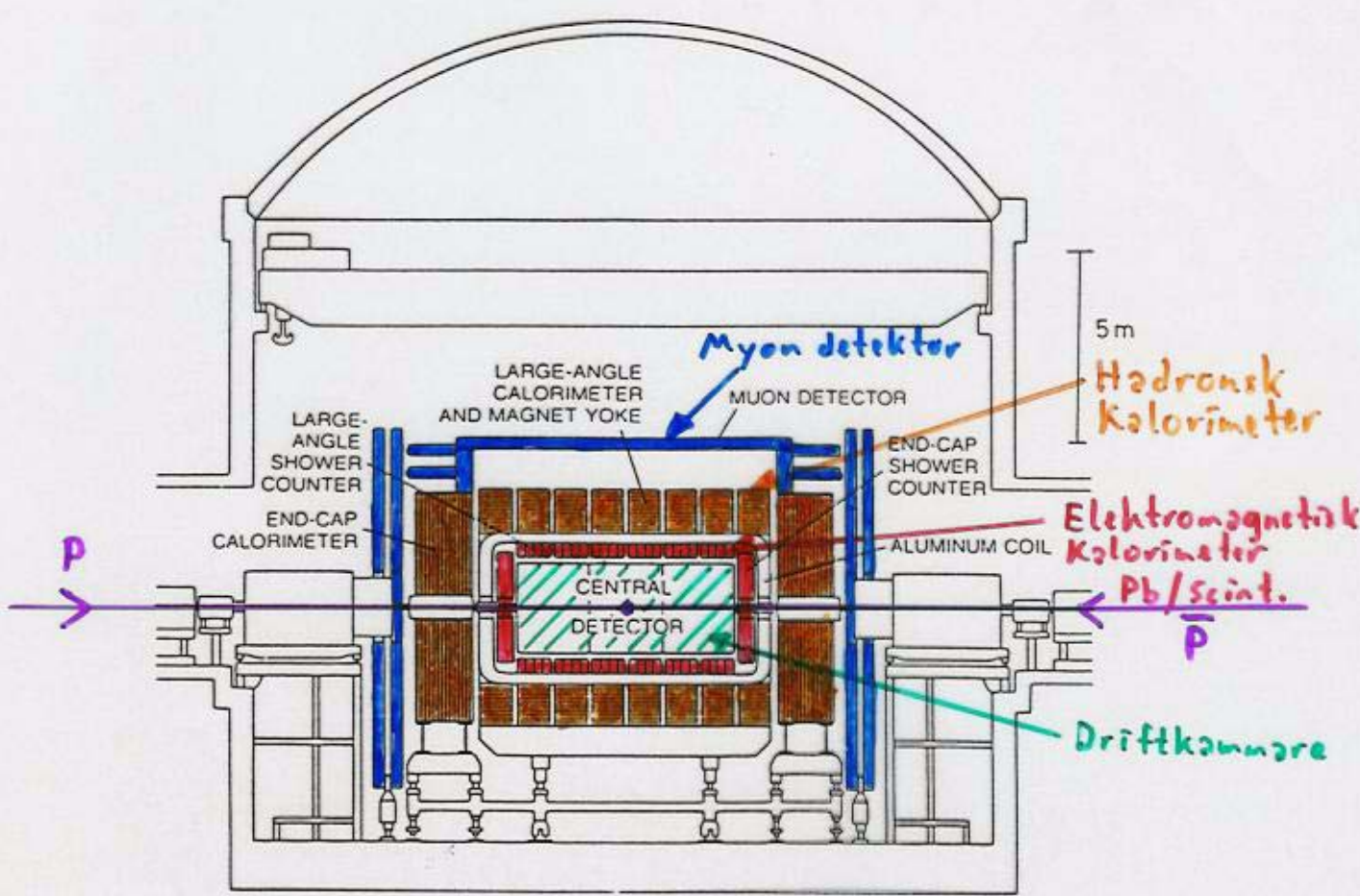
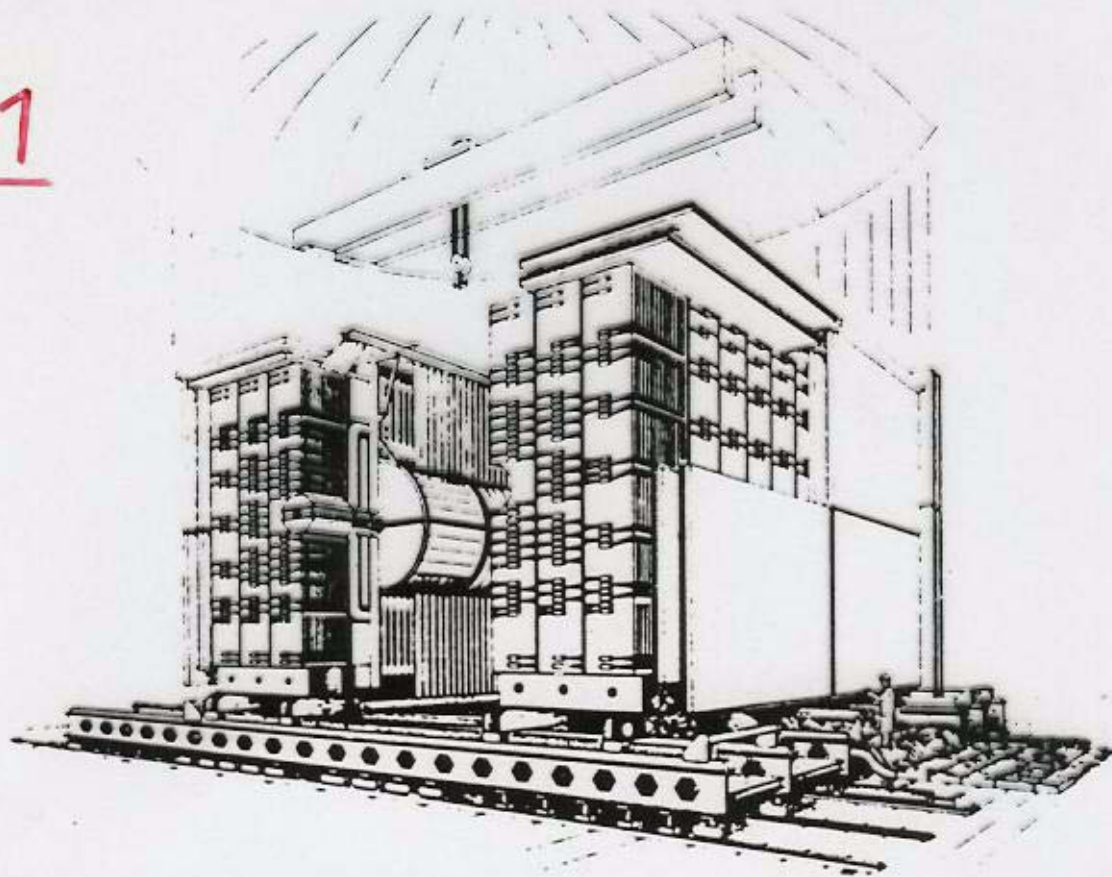


- Massa:

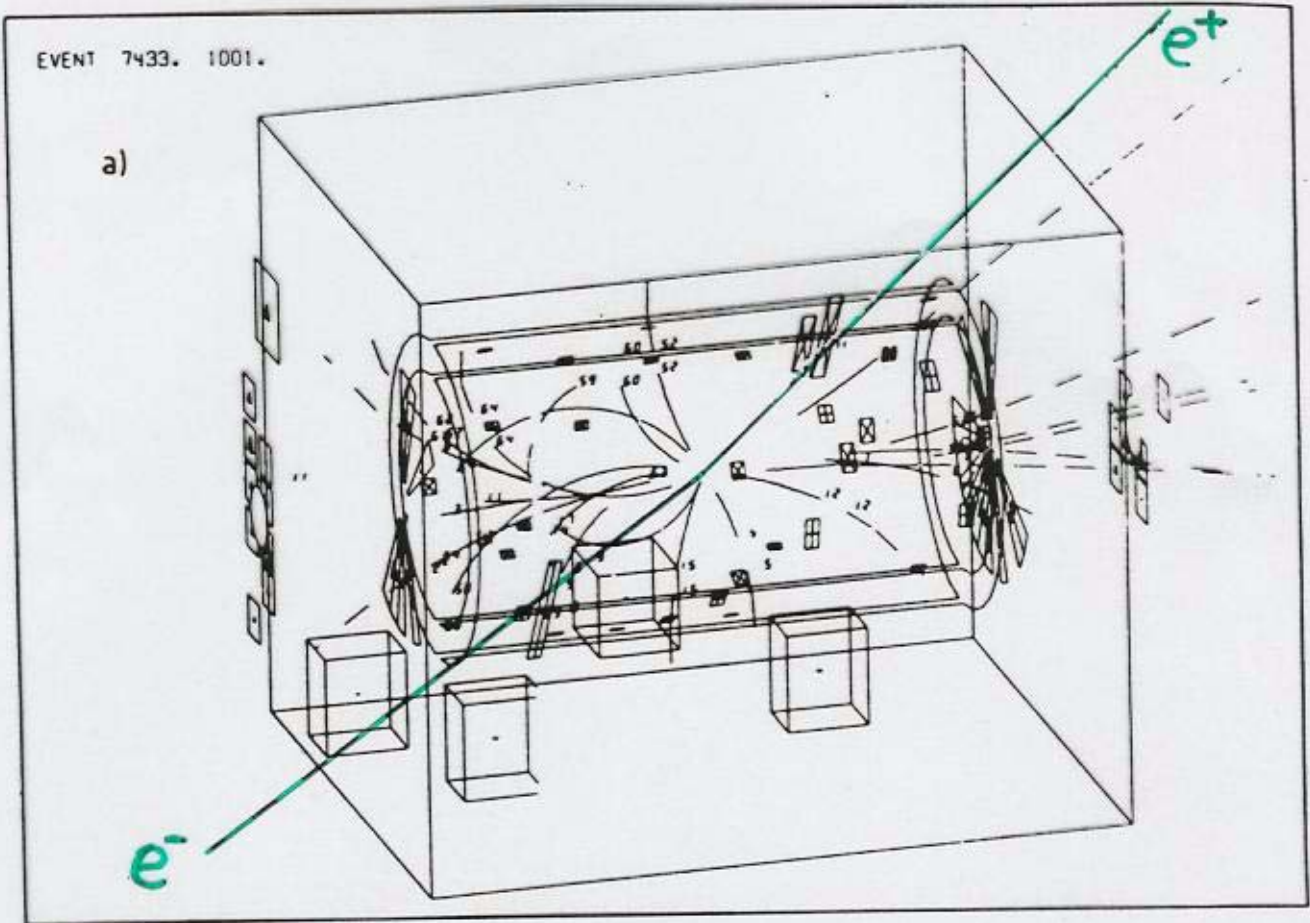
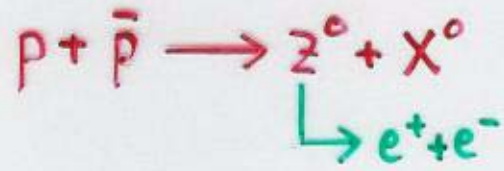
$$m_W = 81 \text{ GeV}$$

$$m_Z = 92 \text{ GeV}$$

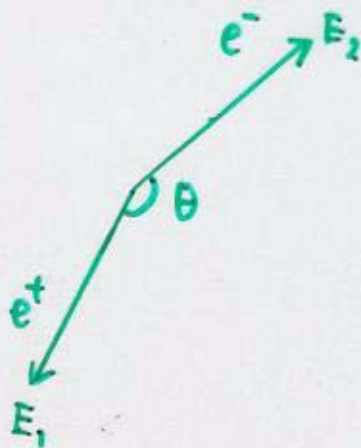
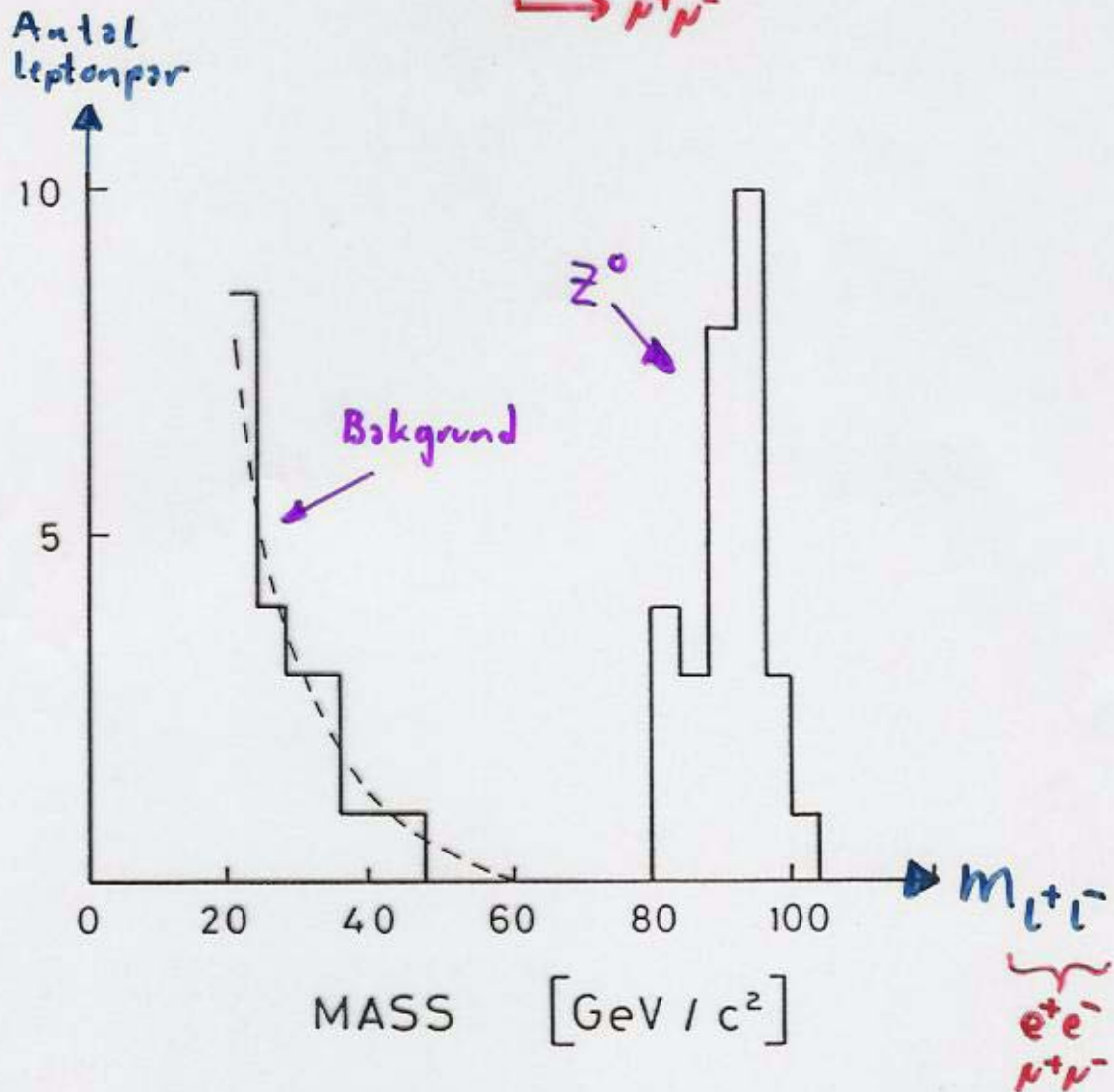
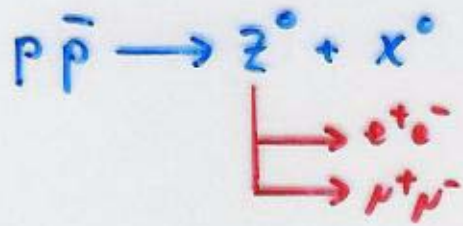
UA1



UA1



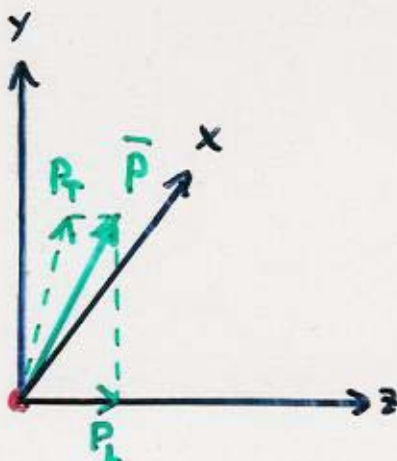
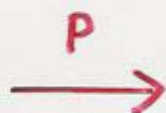
UA 1



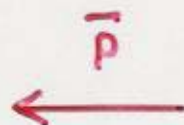
$$M_{e^+e^-}^2 = (\vec{p}_1 + \vec{p}_2)^2 \approx 2E_1E_2(1 - \cos\theta)$$

W

P_T :



$$|\vec{P}| = \sqrt{P_L^2 + P_T^2}$$



P_T : Transversell rörelsemängd

P_L : Longitudinell rörelsemängd

$$\left(\sum_i P_{Ti} = 0 \quad \text{där } i \text{ är alla partiklar} \right)$$

Massan för ett par av masslösa partiklar med öppningsvinkeln θ ges av

$$m = \sqrt{2 P_1 P_2 (1 - \cos \theta)}$$

Den transversella massan för ett par av partiklar ges av

$$m_T = \sqrt{2 P_{T1} P_{T2} (1 - \cos \theta)}$$

Antal
Händelser

